

УДК 534.015

## О ПРЕДЕЛЬНЫХ ВОЗМОЖНОСТЯХ УПРУГОИНЕРЦИОННОЙ ВИБРОЗАЩИТЫ

РЯБОЙ В. М.

Обзор различных типов упругоинерционной виброзащиты можно найти в [1-4]. Известно, что при увеличении степени виброизоляции в данной области частот отношение  $m/c$  общей массы соответствующей пассивной упругоинерционной виброизолирующей конструкции к ее статической жесткости неограниченно возрастает. Эта закономерность доказана в работе [5] в общем виде для всех линейно-упругих систем с сосредоточенными параметрами. В [5] найден порядок возрастания наименьшего возможного для линейноупругой дискретной консервативной системы значения  $m/c$  при повышении требований к виброизоляции в данном интервале частот.

В публикуемой работе определяется точное количественное выражение указанной зависимости. Полученные оценки описывают предельные возможности всей совокупности линейных пассивных упругоинерционных виброизолирующих систем любой структуры с любым конечным числом степеней свободы.

1. Типичная задача рассматриваемого класса формулируется следующим образом: найти наименьшее возможное значение суммарной массы  $m$  однонаправленной линейно-упругой системы, имеющей заданную статическую жесткость  $c$  и обладающей в данном диапазоне частот возбуждения  $\omega$  ( $\omega_- \leq \omega \leq \omega_+$ ) коэффициентом передачи  $r(\omega)$ , не превышающим заданной величины  $\varepsilon$

$$|r(\omega)| \leq \varepsilon, \quad \omega_- \leq \omega \leq \omega_+ \quad (1.1)$$

В силу соображений размерности эта задача сводится к нахождению зависимости между тремя безразмерными параметрами  $(m/c)\omega_-^2$ ,  $\omega_+/\omega_-$ ,  $\varepsilon$  вида

$$m_{\min} = (c/\omega_-^2)\varphi(\omega_+/\omega_-, \varepsilon) \quad (1.2)$$

В [5] показано, что, за исключением вырожденных случаев  $\varepsilon \geq 1$  и  $\omega_+/\omega_- = 1$ , функция  $\varphi$  в (1.2) не обращается в нуль; более того, доказано, что  $\varphi = O(\ln^2 \varepsilon)$ ,  $\varepsilon \rightarrow 0$ .

Ниже найдены в замкнутой форме приближенные аналитические выражения для функции  $\varphi$  с известной (достаточно высокой) точностью; при этом выяснено, что существует линейная зависимость лишь между двумя безразмерными комбинациями указанных выше параметров, которая с высокой точностью описывает предельные возможности всего класса линейных упругоинерционных виброизолирующих систем с сосредоточенными параметрами. Результаты обобщаются на случай более сложных требований к частотной зависимости коэффициента передачи.

2. Математическая постановка задачи дана в [5]. Система состоит из  $n$  материальных точек, упруго связанных с жестким основанием и между собой. Упругие свойства системы описываются положительно-определенной матрицей жесткости  $C$  общего вида размерности  $n \times n$ . Здесь предполагается без уменьшения общности, что материальные точки системы способны смещаться лишь в одном направлении.

Уравнение колебаний системы при возбуждении гармонической силой с частотой  $\omega$ , действующей (для определенности) на массу  $m_1$ , имеет вид

(в амплитудах)  $Cu - \omega^2 Mu = f$ , где  $M = \text{diag}(m_1, m_2, \dots, m_n)$  — диагональная матрица масс;  $f = (f_1, 0, \dots, 0)^T$ ;  $u$  — вектор амплитуд перемещений.

Виброизолирующие свойства системы характеризуются коэффициентом передачи  $r(\omega)$ , равным, по определению, отношению амплитуд гармонической силы, действующей на основание, и гармонической внешней силы  $f_1$ , действующей на «вход» системы (массу  $m_1$ ). Отметим, что в силу теоремы взаимности  $r(\omega)$  равен также отношению амплитуд колебаний точки  $m_1$  и основания при кинематическом возбуждении со стороны основания. Известно, что для линейно-упругой системы с конечным числом степеней свободы функция  $r(\omega)$  представляется в виде

$$r(\omega) = \sum_{i=1}^n \frac{z_i}{1 - \omega^2/\omega_i^2} \quad (2.1)$$

причем

$$\sum_{i=1}^n z_i = 1 \quad (2.2)$$

Здесь  $\omega_i$  — собственные частоты системы,  $z_i$  — действительные коэффициенты, выражающиеся через компоненты собственных форм. В [5] доказано, что наименьшее значение массы линейной консервативной системы, обладающей коэффициентом передачи (2.1), определяется формулой

$$m_{\min} = c \left( \sum_{i=1}^n \frac{|z_i|}{\omega_i} \right)^2 \quad (2.3)$$

где  $c^{-1}$  — общая статическая податливость системы, т. е. смещение точки  $m_1$  при действии на нее единичной статической нагрузки.

По величинам  $z_i$ ,  $\omega_i$  можно [5, 6] найти (вообще говоря, неоднозначно) матрицу жесткости  $C$  и массы  $m_1, \dots, m_n$ , а затем построить динамическую схему линейно-упругой системы, обладающей коэффициентом передачи (2.1), статической жесткостью  $c$  и массой (2.3). С учетом (2.3) основная задача данной работы формулируется следующим образом:

*Задача 1.* Найти (или оценить) нижнюю грань величины

$$\mu = \sum_{i=1}^n \frac{|z_i|}{\omega_i} \quad (2.4)$$

по всем  $n$  и всевозможным наборам  $\omega_i > 0$  и  $z_i$  ( $i=1, 2, \dots, n$ ), удовлетворяющим условию (2.2) и требованию к виброизоляции вида

$$|r(\omega)| \leq \varepsilon(\omega), \quad \omega \in \Omega \quad (2.5)$$

где  $r(\omega)$  определяется формулой (2.1),  $\varepsilon(\omega)$  — заданная функция,  $\Omega$  — данная область частот, называемая в дальнейшем областью виброизоляции. Этот минимум в силу (2.3) определяет наименьшее возможное значение  $(m/c)^{1/2}$  по всем линейно-упругим системам, удовлетворяющим (2.5).

Не представляет труда получение оценок искомого минимума сверху. Для этого достаточно найти зависимость величины (2.4) от  $\Omega$ ,  $\varepsilon$  для любой механической системы, т. е. по существу для любой функции вида (2.1), удовлетворяющей условиям (2.2), (2.5). Получить оценку минимума снизу более сложно. Для этого необходимо перейти к двойственной задаче, в которой нахождение минимума заменяется нахождением максимума. Ниже такой переход совершается для задачи с фиксированными собственными частотами. Затем доказывается вспомогательное утверждение, позволяющее сформулировать двойственную задачу для всевозможных наборов собственных частот. Наконец, выводится вариационная форму-

лировка, позволяющая получить приближенное решение задачи в замкнутой форме.

3. Рассмотрим упрощенный вариант задачи 1, а именно, будем считать, что собственные частоты  $\omega_i$  заданы. Поставив дополнительные условия в задаче 1, получим следующую формулировку

*Задача 2.* Найти нижнюю грань величины (2.4) по всевозможным наборам действительных чисел  $z_i, i=1, 2, \dots, n$ , удовлетворяющих условиям (2.2) и (2.1), (2.5), где  $n$  и  $\omega_i$  — заданные числа,  $\Omega$  — заданная область положительной полуоси,  $\omega_i > 0$  лежат вне  $\Omega$ .

Эту задачу можно рассматривать как задачу линейного приближения нулевого элемента в  $n$ -мерном векторном пространстве с бесконечным числом ограничений; при этом норма определяется как сумма модулей компонент (см. правую часть (2.4)), а ограничения заданы линейными неравенствами, вытекающими из (2.1), (2.5), и равенством (2.2). Соответствующая теорема двойственности доказана [7, гл. 9]. Значение нижней грани  $\mu$  по  $z_i$  в задаче 2 равно значению верхней грани в следующей двойственной задаче

$$- \int_{t \in K} \varepsilon d\lambda + \lambda_1 \rightarrow \sup \quad (3.1)$$

$$\frac{g_i}{\omega_j} + \int_{t \in K} a_j(t) d\lambda + \lambda_1 = 0, \quad |g_j| \leq 1, \quad (j=1, 2, \dots, n) \quad (3.2)$$

Здесь интеграл понимается в смысле Лебега,  $\lambda$  — неотрицательная регулярная счетно-аддитивная функция множества [7],  $K$  представляет собой дважды повторенное множество  $\Omega$  ( $K = \Omega_1 \cup \Omega_2$ ), функция  $a_j(t)$  имеет вид

$$a_j(t) = 1/(1-t^2/\omega_j^2), \quad t \in \Omega_1$$

$$a_j(t) = -1/(1-t^2/\omega_j^2), \quad t \in \Omega_2$$

$g_j$  и  $\lambda_1$  — действительные числа. Верхняя грань берется по  $\lambda, \lambda_1, g_j$ .

Поскольку левая часть выражения (3.1) лишь увеличится, если при неизменном  $\lambda$  увеличить  $\lambda_1$ , то  $\lambda_1$  принимает максимальное допустимое условиями (3.2) значение. Тогда задача (3.1)–(3.2) преобразуется к виду

$$\min_j \left[ \omega_j^{-1} - \int_{t \in K} (a_j(t) + \varepsilon) d\lambda \right] \rightarrow \sup_\lambda \quad (3.3)$$

при условии

$$\min_j \left[ \omega_j^{-1} - \int_{t \in K} a_j(t) d\lambda \right] \geq \max_j \left[ -\omega_j^{-1} - \int_{t \in K} a_j(t) d\lambda \right] \quad (3.4)$$

Решение исходной задачи 1 равно нижней грани решений задачи (3.3)–(3.4) по всем конечным наборам  $[\omega_j]$ . Обозначим левую часть (3.4) через  $P(\lambda, \Theta)$ , правую — через  $Q(\lambda, \Theta)$ , где  $\Theta = [\omega_j]$ . Будем считать, что  $\lambda$  принадлежит множеству  $\Lambda(\Theta)$  допустимых функций для данного  $\Theta$  ( $\lambda \in \Lambda(\Theta)$ ), если  $P(\lambda, \Theta) \geq Q(\lambda, \Theta)$ . Обозначив решение задачи (3.3), (3.4) через  $\mu_+(\Theta)$ , можем записать

$$\mu_+(\Theta) = \sup_{\lambda \in \Lambda(\Theta)} \left[ P(\lambda, \Theta) - \int_{t \in K} \varepsilon d\lambda \right]$$

Решение исходной задачи 1  $\mu_{\min}$  равно

$$\mu_{\min} = \inf_{\Theta \subset \Omega'} \mu_+(\Theta) \quad (3.5)$$

где  $\Omega'$  — множество допустимых значений  $\omega_i$  (дополнение  $\Omega$  до положительной полуоси), а нижняя грань берется по всем конечным подмножествам  $\Omega'$ . Чтобы получить искомую оценку снизу для  $\mu_{\min}$ , воспользуемся следующим вспомогательным утверждением.

*Лемма.*  $\mu_+(\Theta_1) \leq \mu_+(\Theta_2)$ , если  $\Theta_1 \supset \Theta_2$ .

Доказательство. Пусть  $\Theta_1 \supset \Theta_2$ . В силу определения функционалов  $P$  и  $Q$   $P(\lambda, \Theta_1) \leq P(\lambda, \Theta_2)$ ;  $Q(\lambda, \Theta_1) \geq Q(\lambda, \Theta_2)$ . Следовательно,  $\Lambda(\Theta_2) \supset \Lambda(\Theta_1)$ . Можно написать цепочку неравенств

$$\begin{aligned} \mu_+(\Theta_1) &= \sup_{\lambda \in \Lambda(\Theta_1)} \left[ P(\lambda, \Theta_1) - \int \varepsilon d\lambda \right] \leq \sup_{\lambda \in \Lambda(\Theta_1)} \left[ P(\lambda, \Theta_2) - \int \varepsilon d\lambda \right] \leq \\ &\leq \sup_{\lambda \in \Lambda(\Theta_2)} \left[ P(\lambda, \Theta_2) - \int \varepsilon d\lambda \right] = \mu_+(\Theta_2) \end{aligned}$$

что и требовалось доказать.

Из леммы и равенства (3.5) следует, что  $\mu_{\min} \geq \mu'$ , где  $\mu' = \mu_+(\Omega')$  представляет собой решение следующей двойственной задачи

$$\mu' = \sup_{\lambda} \left[ \inf_{\omega \in \Omega'} \left( \omega^{-1} - \int_{t \in K} (a(\omega, t) + \varepsilon) d\lambda \right) \right] \quad (3.6)$$

$$\inf_{\omega \in \Omega'} \left[ \omega^{-1} - \int_{t \in K} a(\omega, t) d\lambda \right] \geq \sup_{\omega \in \Omega'} \left[ -\omega^{-1} - \int_{t \in K} a(\omega, t) d\lambda \right] \quad (3.7)$$

где  $a(\omega, t) = 1/(1-t^2/\omega^2)$ ,  $t \in \Omega_1$ ;  $a(\omega, t) = -1/(1-t^2/\omega^2)$ ,  $t \in \Omega_2$ . Решение двойственной задачи совпадает с решением исходной задачи 1, если оно сколь угодно близко аппроксимируется последовательностью решений аналогичных задач, где  $\Omega'$  заменено некоторыми конечными  $\Theta$ .

Предположим, что область виброизоляции  $\Omega$  ограничена; тогда  $\Omega'$  содержит бесконечно удаленную точку и неравенство (3.7) обращается в равенство. Пользуясь этим, можно произвести дальнейшие упрощения. Ограничимся, кроме того, только теми мерами  $\lambda$ , которые порождены гладкими функциями (это предположение может лишь уменьшить верхнюю грань). В дальнейшем все оценки  $\mu_{\min}$  снизу будем обозначать через  $\mu_-$ . Пусть  $d\lambda = v_1(t)dt$  на  $\Omega_1$ ,  $d\lambda = v_2(t)dt$  на  $\Omega_2$ . Обозначив  $v_2(t) - v_1(t) = v(t)$  и выполнив замену переменных  $t^2 = s$ ,  $\omega^2 = p$ ,  $v(t)dt = h(s)ds$ ,  $\Omega \rightarrow L$ ,  $\Omega' \rightarrow L'$ , получим из (3.6)–(3.7) следующую формулу для оценки  $\mu_{\min}$  снизу:  $\mu_{\min} \geq \mu_-$ , где

$$\mu_- = \sup_h \int_L [h(s) - \varepsilon |h(s)|] ds \quad (3.8)$$

при условии

$$\left| \int_L \frac{sh(s)ds}{s-p} \right| \leq \frac{1}{\sqrt{p}}, \quad p \in L' \quad (3.9)$$

Значение интеграла в (3.8), вычисленное для любой функции  $h$ , удовлетворяющей (3.9), дает некоторую оценку величины  $\mu = (m/c)^{1/2}$  снизу.

Введя функцию комплексного переменного

$$H(z) = \int_L \frac{sh(s)ds}{s-z}$$

можно [5] переписать постановку задачи в виде

$$\mu_- = \sup \left[ H(0) - \pi^{-1} \int_L \varepsilon |\operatorname{Im} H(s)| s^{-1} ds \right] \quad (3.10)$$

$$|H(x)| \leq 1/\sqrt{x}, \quad x \in L' \quad (3.11)$$

Под  $H(s)$ ,  $s \in L$  понимается любое предельное значение  $H(z)$  при  $z \rightarrow s$  (их мнимые части различаются лишь знаком). Верхняя грань берется по всем функциям  $H(z)$ , аналитическим в расширенной комплексной плоскости с разрезом вдоль  $L$  и принимающим действительные значения, удовлетворяющие (3.11), на положительной полуоси вне  $L$ . Заметим, что все требования к функции  $H(z)$  удовлетворяются автоматически, если

$$H(z) = (1/\sqrt{z}) \sin [F(z)\sqrt{z}] \quad (3.12)$$

где  $F(z)$  — функция, аналитическая вне  $L$  и действительная на действительной оси вне  $L$ . Ее можно записать в виде интеграла Коши

$$F(z) = \frac{1}{\pi} \int_L \frac{f(s) ds}{s-z} \quad (3.13)$$

где  $f(s)$  — действительная функция, удовлетворяющая условию Гельдера. С учетом (3.12), (3.13) получаем из (3.10) оценку

$$\mu_- = \sup_f \left\{ \frac{1}{\pi} \int_L \left[ f(x) - \frac{\varepsilon}{\sqrt{x}} \right] \operatorname{sh}(f(x)\sqrt{x}) \cos \left( \frac{\sqrt{x}}{\pi} \int_L \frac{f(s) ds}{s-x} \right) \right\} \frac{dx}{x} \quad (3.14)$$

Нетрудно показать, что  $\mu_- \rightarrow \infty$  при  $\varepsilon \rightarrow 0$ . Следовательно, функция  $f$ , доставляющая  $\sup$  (или близкое к  $\sup$  значение), также принимает при  $\varepsilon \rightarrow 0$  бесконечно большие значения, так что косинус в правой части (3.14) является при малых  $\varepsilon$  быстро осциллирующей функцией. Это наводит на мысль заменить косинус его средним по полупериоду значением  $2/\pi$  и искать  $\sup$  полученного упрощенного выражения. Итак, имеем при достаточно малых  $\varepsilon$ :

$$\mu_- = \sup_f \left\{ \frac{1}{\pi} \int_L \left[ f(x) - \frac{2\varepsilon}{\pi\sqrt{x}} |\operatorname{sh}(f(x)\sqrt{x})| \right] \frac{dx}{x} \right\} \quad (3.15)$$

Очевидно, что  $\sup$  достигается при  $f(x) \geq 0$ , так что знак модуля можно отбросить. Варьируя функцию  $f$  и пользуясь основной леммой вариационного исчисления, находим  $\operatorname{ch} [f(x)\sqrt{x}] = \pi/2\varepsilon$ , откуда, при малых  $\varepsilon$

$$f(x) = \left( \ln \frac{\pi}{\varepsilon} \right) \frac{1}{\sqrt{x}} \quad (3.16)$$

а для значения  $\mu_-$  получаем из (3.15) после обратной замены переменных  $x = \omega^2$ ,  $L \rightarrow \Omega$ :

$$\mu_- = \frac{2}{\pi} \int_{\Omega} \left[ \ln \frac{\pi}{\varepsilon(\omega)} - 1 \right] \frac{d\omega}{\omega^2} \quad (3.17)$$

Соотношение (3.17) представляет собой оценку снизу величины  $(m/c)^{1/2}$  для любой упругоинерционной системы, удовлетворяющей требованиям к виброизоляции (2.5). Эта оценка справедлива при достаточно малых значениях  $\varepsilon$ . Для ее уточнения и распространения на все значения  $\varepsilon$  в каждом конкретном случае достаточно вычислить выражение под знаком  $\sup$  в (3.14) с подставленной функцией (3.16).

Рассмотрим подробнее наиболее простой и важный случай, когда  $\varepsilon = \text{const}$ ,  $\Omega = [\omega_-, \omega_+]$  (см. формулу (1.1)), т. е. область виброизоляции

состоит из одного диапазона частот. Из (3.17) непосредственно получаем

$$\sqrt{\frac{m}{c} \frac{\omega - \omega_+}{\omega_+ - \omega_-}} \geq \frac{2}{\pi} \left[ \ln \frac{\pi}{\varepsilon} - 1 \right] \quad (3.18)$$

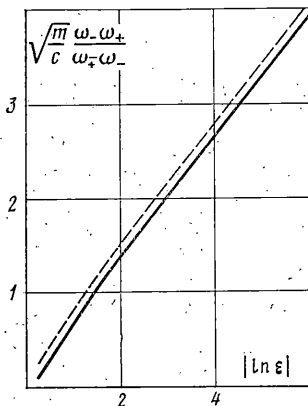
Неравенство (3.18) представляет один из основных результатов публикуемой работы. Оно оценивает снизу предельные возможности упругоинерционной виброзащиты в широкой области изменения параметров. Более того, ниже будет показано, что оценка (3.18) близка к точной нижней грани, иными словами, существуют упругоинерционные системы, для которых левая часть (3.18) лишь незначительно превышает правую.

Рассмотрим подробнее величину, стоящую в левой части (3.18). Имеем

$$\tau \equiv \sqrt{\frac{m}{c} \frac{\omega - \omega_+}{\omega_+ - \omega_-}} = \frac{T_0}{T_- - T_+}$$

Здесь  $T_0 = 2\pi\sqrt{m/c}$  — характерный период системы,  $T_+ = 2\pi/\omega_+$ ,  $T_- = 2\pi/\omega_-$ . Величину  $\tau$  назовем характерным относительным периодом упругоинерционной системы для данного интервала виброизоляции. Эта величина играет важную роль в описании предельных возможностей упругоинерционной виброзащиты: использование вместо двух безразмерных параметров  $\omega_+/\omega_-$  и  $\omega_- (m/c)^{1/2}$  одного параметра  $\tau$  позволяет свести описание предельных возможностей всего класса упругоинерционных виброизолирующих систем на любом частотном диапазоне виброизоляции, по существу, к одному простому линейному неравенству.

Неравенство (3.18) можно уточнить и распространить на большие значения  $\varepsilon$  при помощи формул (3.14), (3.16). Подстановка (3.16) в выражение под знаком  $\sup$  в (3.14) дает



$$\tau \geq \frac{2}{\pi} \ln \frac{\pi}{\varepsilon} - \frac{\omega_+ \omega_-}{\omega_+ - \omega_-} \int_{\omega_-}^{\omega_+} \cos \left[ \left( \frac{1}{\pi} \ln \frac{\pi}{\varepsilon} \right) \times \right. \\ \left. \times \ln \frac{(\omega_+ - \omega)(\omega + \omega_-)}{(\omega_+ + \omega)(\omega - \omega_-)} \right] \left| \frac{d\omega}{\omega^2} \right. \quad (3.19)$$

Вычисления, проведенные при значениях параметра  $\omega_+/\omega_-$  от 1,04 до 32,0 показали, что при  $\varepsilon \leq 0,3$  (от 10 дБ и выше) правые части (3.19) и (3.18) отличаются незначительно. При больших значениях  $\varepsilon$  правая часть (3.19) очень слабо зависит от параметра  $\omega_+/\omega_-$  (максимальное различие результатов для  $\omega_+/\omega_- = 1,04$  и 32,0 менее 0,02). Результат вычисления правой части (3.19) показан на фигуре сплошной линией. Точки на плоскости  $(\tau, |\ln \varepsilon|)$ , лежащие правее и ниже этой линии, не могут соответствовать никакой линейной консервативной механической системе.

4. Чтобы построить механическую систему с параметрами, приближающимися к оптимальным (в смысле максимума  $|\ln \varepsilon|$  при данном  $\tau$  или минимума  $\tau$  при данном  $\varepsilon$ ), расположим собственные частоты в тех точках, в которых неравенство (3.11) обращается в равенство. Согласно (3.12), (3.13), (3.16) эти собственные частоты определяются из уравнения

$$\left| \sin \left[ \left( \frac{1}{\pi} \ln \frac{\pi}{\varepsilon} \right) \ln \frac{(\omega_+ - \omega)(\omega_- + \omega)}{(\omega_- - \omega)(\omega_+ + \omega)} \right] \right| = 1 \quad (4.1)$$

Решения этого уравнения не представляет труда выписать в явном виде. Они образуют две последовательности, одна из которых, монотонно возрастая, сходится к  $\omega_-$ , а другая, монотонно убывая, сходится к  $\omega_+$ . Рассмотрим сформулированную выше задачу 2, в которой в качестве час-

тот  $\omega_i$  взяты по несколько первых членов указанных последовательностей и бесконечно большая собственная частота. Задача 2 решается численно при помощи алгоритма А. Я. Ремеза [8]. Этот алгоритм основан на определении точек  $\xi_i$  отрезка  $[\omega_-, \omega_+]$ , в которых  $|r(\xi_i)| = \varepsilon$  при помощи довольно трудоемкого итерационного процесса. Было замечено, что те же численные результаты получаются, если сразу взять в качестве  $\xi_i$  точки  $\omega_-, \omega_+$  и нужное число корней уравнения

$$\left| \cos \left[ \left( \frac{1}{\pi} \ln \frac{\pi}{\varepsilon} \right) \ln \frac{(\omega_+ - \xi)(\omega_- + \xi)}{(\omega_+ + \xi)(\xi - \omega_-)} \right] \right| = 1$$

При увеличении количества собственных частот построенные таким образом решения быстро сходятся к точкам, лежащим на пунктирной линии, показанной на фиг. 1. При достаточно малых  $\varepsilon$  эта линия — прямая, параллельная сплошной прямой, отражающей неравенство (3.18), и немного от нее отстоящая (примерно на 0,15 по оси ординат или на 1,9 дБ по оси абсцисс). Зависимость от  $\omega_+/\omega_-$  на прямолинейном участке отсутствует, а на криволинейном — незначительна, как и для оценки снизу.

Решив задачу 2 для некоторого набора  $\omega_i$ , найденного, как указано выше ( $\omega_n = \infty$  заменяется на большое конечное значение  $\omega_n \gg \omega_{n-1}$ ) можно, пользуясь методами, изложенными в [5, 6], построить конкретные динамические схемы с параметрами, близкими к оптимальным. Матрицы  $M$  и  $C$  определяются единственным образом, если потребовать, например, чтобы  $C$  была трехдиагональной. Соответствующие динамические схемы представляются в виде цепочек масс, соединенных между собой и с основанием посредством идеальных невесомых пружин, шарниров и рычагов; они, по-видимому, не представляют общего интереса и здесь не приводятся.

5. Общая оценка (3.17) позволяет рассмотреть и более сложные варианты требований (2.5). Пусть, например, область виброизоляции  $\Omega$  представляет собой объединение непересекающихся отрезков  $[\omega_-^{(1)}, \omega_+^{(1)}]$ ,  $[\omega_-^{(2)}, \omega_+^{(2)}]$ , ...,  $[\omega_-^{(N)}, \omega_+^{(N)}]$ , причем  $\varepsilon(\omega) = \varepsilon_i$  ( $\omega_-^{(i)} \leq \omega \leq \omega_+^{(i)}$ ). Оценка (3.17) дает

$$\sqrt{\frac{m}{c}} \geq \frac{2}{\pi} \sum_{i=1}^N \frac{\omega_+^{(i)} - \omega_-^{(i)}}{\omega_-^{(i)} \omega_+^{(i)}} \left[ \ln \frac{\pi}{\varepsilon_i} - 1 \right]$$

Уравнение для определения собственных частот системы с характеристиками, близкими к оптимальным (аналог уравнения (4.1)) имеет вид

$$\sin \left[ \frac{1}{\pi} \sum_{i=1}^N \left( \ln \frac{\pi}{\varepsilon_i} \right) \ln \frac{(\omega_+^{(i)} - \omega)(\omega_-^{(i)} + \omega)}{(\omega_-^{(i)} - \omega)(\omega_+^{(i)} + \omega)} \right] = 1$$

Рассмотрим теперь случай, когда требуется быстрое убывание коэффициента передачи, начиная с некоторой частоты:  $\varepsilon(\omega) = \varepsilon_- (\omega/\omega_-)^l$ ,  $\omega \geq \omega_-$ .

Пользуясь формулой (3.17), где  $\Omega = [\omega_-, \omega_+]$  и устремляя  $\omega_+$  к бесконечности, получаем оценку

$$\sqrt{\frac{m}{c}} \geq \frac{2}{\pi} \left[ \ln \frac{\pi}{\varepsilon_-} + l - 1 \right] \frac{1}{\omega_-}$$

Не представляет принципиальных трудностей также обобщение уточненной оценки (3.19) и методики построения частотной характеристики и динамической схемы с близкими к оптимальным параметрами. Отметим, основные результаты публикуемой работы, представленные на фигуре

формулами (3.14), (3.17)–(3.19) и др., не содержат числа степеней свободы системы. Представляется естественной гипотеза о том, что эти результаты непосредственно обобщаются и на континуальные линейно-упругие консервативные системы. Доказательство этого утверждения, разумеется, не вытекает из данной работы и представляет самостоятельную задачу.

#### ЛИТЕРАТУРА

1. *Беляковский Н. Г.* Конструктивная амортизация механизмов, приборов и аппаратуры на судах. Л.: Судостроение, 1965. 523 с.
2. *Коловский М. З.* Автоматическое управление виброзащитными системами. М.: Наука, 1976. 319 с.
3. *Гурецкий В. В., Мазин Л. С.* Синтез оптимальной виброзащитной системы при учете динамических свойств амортизирующего крепления. – Изв. АН СССР, МТТ, 1974, № 3, с. 50–55.
4. *Артоболевский И. И., Бобровицкий Ю. И., Генкин М. Д.* Введение в акустическую динамику машин. М.: Наука, 1979. 296 с.
5. *Рябой В. М.* О наименьшей массе упругоинерционных виброизолирующих систем. – Изв. АН СССР, МТТ, 1980, № 4, с. 59–67.
6. *Генкин М. Д., Рябой В. М., Яблонский В. В.* Об одной обратной задаче виброакустики. – Акуст. ж., 1980, т. 26, в. 4, с. 618–620.
7. *Гольштейн Е. Г.* Теория двойственности в математическом программировании и ее приложения. М.: Наука, 1971. 351 с.
8. *Лоран П.-Ж.* Аппроксимация и оптимизация. М.: Мир, 1975. 496 с.

Москва

Поступила в редакцию  
11.XI.1980